

DCL

I-2082

I953

HCl, DCl, HBr, NH<sub>3</sub> ( $\nu_i$ )

Hansler R.L., Oetjen R.A.

J.Chem.Phys., I953, 21, N 8, I340-I343  
( $\text{cm}^{-1}$ )

The infrared spectra of HCl, DCl, HBr,  
and NH<sub>3</sub> in the region from 40 to I40 micron

s

PX, I954, N 8, 23II4

10

Recd 9/21/1954

DCL  
Komb.  
Crest.

Fickworth J.

1953

Thompson H.

Proc. Roy. Soc. 18, 1932, 27-43.

Oenobryceus

Waes - brous . named DCL

Ципп, норовчук 10-20 см прямий  
Діаметр 40-450 мкм. при 5 $\mu$ .

Підземні кореневі  
частини  сочні з глиняною  
кореневиною DCL 35, DCL 37

Braun, Johann Wagner von Teltow  
1818-1864

$$DCl^{35}\gamma = 2021.04 \pm 10.67 \text{ m} - 0.1123w^2 \mp 0.0054w^3$$

$$DQ^{(7)} = 9082.04 + 10.640u - 0.1118u^2 + 0.00054u^3 + 6.10^4u^4$$

8035 20137

2031.045

30 5,391.8

B1 52795

Fe 5,447.9

$$D_0 = 1.37 \cdot 10^{-4}$$

28 1367.10

సుధా రామ

5.375<sub>6</sub>

512639

5,4315

1,363.10<sup>3</sup>

$$1.35 \pm 10^{-3}$$

$$De = 1.37 \cdot 10^{-4} \quad l_{136} = 6 \cdot 10^6$$

Dauer dage DCe = 1,274

2-2084

1953

DCl (V)  $\omega_0, B_0, B, B_C, D_0, D, D_C, r_C$ )

Pickworth I., Thompson H.W.

Proc. Roy. Soc., 1953, A218, N 1132, 37-43.

(ans.)

The fundamental vibrationrotation band  
of deuterium chloride.

PK, 1954, II 8, 23106

10

1956

Van Korne B.V., Haarste. C.D.

DCE

J. Chem. Phys., 1956, 25, 56.

Cnecay DCE 6 Генкен н.к. ордн

Cnecay

no no no 2-0 u 3-0

DCE<sup>35</sup> DCE<sup>37</sup>w<sub>e</sub> 2144,77 cm<sup>-1</sup> 2141,20 cm<sup>-1</sup>w<sub>eze</sub> 26,92 cm<sup>-1</sup> 26,99 cm<sup>-1</sup>w<sub>eze</sub> 0,036 cm<sup>-1</sup> 0,063 cm<sup>-1</sup>B<sub>e</sub> 5,449<sub>0</sub> cm<sup>-1</sup> 5,432 cm<sup>-1</sup>

C.A. 1956

Z<sub>e</sub> 8,274, 1 1,274<sub>5</sub> A

N 20.

Γ<sub>e</sub> 5,135<sub>4</sub>, 6<sup>42</sup> cm<sup>-2</sup> 5,151<sub>6</sub>. 6<sup>48</sup> cm<sup>-2</sup>

T-2087

1956

DCl ( $B_0$ ,  $I_0$ ,  $W_0$ ,  $W_{eXe}$ ,  $W_{eYe}$ )

Van Horne B.H., Hause C.D.,  
(англ.) J.Chem.Phys., 1956, 25, N 1, 56-59

Спектр DCl в Ближней инфракрасной  
области.

РХХ, 1957, № 3, 7215.

10

-1-2079

HCl (  $\mu_i$  )

1957

DCl (  $\mu_i$  )

Benedict W.S., Herman R., Moore G.E.,  
Silverman Sh.

J.Chem.Phys., 1957, 26, II 6, 1671-1677  
(  $\alpha H.$  )

Infrared line and band strengths and dipole moment function in HCl and DCl.

PK, 1953, 52665.

to

I -2081

I958

DCl, DBr, DI ( $\tau_o$ ,  $\tau_e$ )

Cowan M., Gordy W.

Phys. Rev., I958, III, N I, 209-211 (англ.)

Точное измерение миллиметровых и суб-  
миллиметровых спектров  $DCl$ ,  $DBr$  и  $DI$ .

РЖХ, I959, № 6,  
I8229

10

Dce

Cowan M., Gordy W.

1958

Phys. Rev. III, 11, 203-11, July 1.

Неподвижное изображение б.

М.и. и симметрия. от. симетр

Dce, D Br и DJ. переход  $j=0 \rightarrow j$

Dce<sup>35</sup> Dce<sup>37</sup>

Bo  $\mu/$  16165610 161183,01

Be  $\mu$  163340 162859

Ze  $\mu$  1,2746<sub>2</sub> 1,2746<sub>2</sub>

P.A.; 61  
J729  
5785

Br<sub>7</sub>79

Br<sub>0</sub>.127352.5

Br<sub>e</sub> 128615

Br<sub>o</sub> 1,42144

Br<sub>e</sub> 1,4145

Br<sub>7</sub>81

Br<sub>2</sub>279.4

Br<sub>5</sub>35

Br<sub>1</sub>42144

Br<sub>1</sub>4145

Br<sub>7</sub>127

Br<sub>3</sub>538.1

Br<sub>2</sub>497.8

Br<sub>1</sub>61660

Br<sub>1</sub>6091.

Предметы №<sub>0</sub> и №<sub>2</sub> из 4.К. коллаж используя  
один материал Br<sub>4</sub>2.

I-2083

$r_e$  (HCl, DCl, HF, DF, HBr, DBr,  
HJ, DJ )

I958

$r_{x-y}$  (methylene width  $\text{CH}_3\text{C}(x)$  )

Laurie V.W.

J.Chem.Phys., I958, 28, N 4, 704-706

( )

Note on the determination of molecular  
structure from spectroscopic data.

PX; I958, 7300I

10

Jacques J.K., Barrow R.F. 1959

Proc. Phys. Soc., 1959, 73, 538

Journal

19

(Journ. Phys. Soc.)  
M.M. All

1960

W.C. + D

Cashior Y. K. Polanyi J.C.

DC + H

Proc Roy Soc 1960 A 258

N12955 S29

at HCL

Proc 1961 18 628

1960

W.C.  
1960  
1961

use

new.

Mould R.M., Price W.C.

Wilkinson G.R.

Spectrochim. Acta. 1960, 15, 479-484)  
UK-mycrine resol. benzylidene-  
hex-2-en-3-one.

Co, HCl. 3C, 1H

Dinneron. new generic name

an HCl

T-2085

HCl(

DCl

молекулярные пост.

I960

Rank D.H., Birtley W.B., Eastman D.P.,  
Rao B.S., Wiggins T.A.

J.Opt.Soc.America, I960, 50, II 12, I275-  
I279 (бумага)

Предцизионные измерения рядов инфракрас-  
ных полос хлористого водорода.

РЖХИ., I961, 20БII2

1962

ice, see

Barrow R.F.

(an HF)

Advances Molec. Spectrosc.,  
 Vol. 1, 1962, 176.

Успехи в молекулярной спектро-  
 скопии и некоторые раз-  
 ны в биологии.

8cl

BGP-2056-XI

1962

Mould H. M. et al.

(u.n)

" Adriane. Molee. Speets.

1962, #3, 1084-85

HCl (H<sub>0</sub>, D<sub>i</sub>, u.u.)

XI 2019

1962

DCl } (D<sub>i</sub>, a.u.)  
HBr }

Mann D.E., Schoen L.J.

Internat Sympos. Molec. Struc.  
and Spectrosc.; Tokyo, 1962, A209/1-4 (log)  
3

to



I -2086  
 $\text{HCl}^{35}$   
 $\underline{\text{DCl}^{35}}$ } ( $\nu_i$ ,  $B_0$ -  
поменциальные  
постоянные)

I962

Rank D.H., Eastman D.P., Rao B.S., Wiggins  
J.Opt.Soc.America, I962, 52, N I, T.A.  
I-7 (англ.)

Rotational and vibrational constants of  
the  $\text{HCl}^{35}$  and  $\text{DCl}^{35}$  molecules.

PX, I962,  
I75 I04

$\Sigma \hat{y}_6$  | сринг.

10

1962

KCE

Rane D.K., Eastman D.P., Rao D.S.,  
DCE Wiggins T.A.

J. Opt. Soc. Am., 1962, 52, 1 (~1)

Byung. u nong, naynnonne naynny

KCE<sup>35</sup> u DCE<sup>35</sup>.

Uyngnon c bresans gowams nayn

n=0 (n=1-5) KCE<sup>35</sup> u 1-0, 2-0 DCE<sup>35</sup>.

ИССЭ

ДССЭ

$Y_{01} \sim \beta_c$	10,593404	5,4487945
$Y_{11} \sim \alpha$	-0,3071394	-0,1132911
$Y_{21} \sim \gamma$	$1,7343 \cdot 10^{-3}$	$4,5887 \cdot 10^{-4}$ *)
$Y_{31} \sim \delta$	$-1,1083 \cdot 10^{-4}$	$-2,1031 \cdot 10^{-5}$ *)
$Y_{02} \sim \beta_c$	$-5,32019 \cdot 10^{-4}$	-
$Y_{12} \sim \beta_c$	$7,556 \cdot 10^{-6}$	-
$Y_{22} \sim \pi$	$-4,355 \cdot 10^{-7}$	-
$Y_{03} \sim \kappa_e$	$1,6674 \cdot 10^{-8}$	-
$Y_{13} \sim \kappa_e$		
$Y_{10} \sim \alpha_c$	2990,97424	2145,1630
$Y_{20} \sim \omega_{\text{ка}}$	-52,84579	-27,18252
$Y_{30} \sim \omega_{\text{ка}}$	0,23445	0,086493 *)
$Y_{40} \sim \omega_{\text{ка}}$	0,01343	-0,003553 *)

\*) Данные  
из ИССЭ не  
записаны. С-  
пособие не

I-3250

DCl ( $\text{D}_2$ )

1962

Stamper J.G.

The vacuum ultraviolet spectrum  
of DCl. "Canad.J.Phys.", 1962, 40,  
p. 9, 1274-1275 (A.M.U.)

pp. 9, 1963, 4 D230

10

Омск 292 | 1952

DC

спектр,  
н.н.

4 Д230. Спектр DCl в вакуумной УФ-области. Stam-  
пег J. G. The vacuum ultraviolet spectrum of DCl.  
«Canad. J. Phys.», 1962, 40, № 9, 1274—1275 (англ.)

В девятом порядке 10-и дифракционного спектрографа (дисперсия  $10 \text{ см}^{-1}/\text{мм}$ ) сфотографирован спектр поглощения молекулы DCl и измерены частоты линий для ветвей  $P$ ,  $Q$  и  $R$  систем полос  $B-X$  и  $C-X$ . Для полос  $B$  и  $C$  получены значения констант соответственно (в  $\text{см}^{-1}$ ):  $v_0 = 75133,35$  и  $77497,55$ ;  $B' = 5,127$  и  $4,908$ ;  $D' = 3,52 \cdot 10^{-4}$  и  $1,16 \cdot 10^{-4}$ ;  $\omega_e = 2993$  и  $2873$ . Библ. 4 назв.

Ф. Ортенберг

4.1963. 4

1962

292

ОПТИКА 292

ФСС

8 Б57. Спектр DCI в вакуумной ультрафиолетовой области. Stamper J. G. The vacuum ultraviolet spectrum of DCI. «Canad. J. Phys.», 1962, 40, № 9, 1274—1275 (англ.)

В вакуумной УФ-области получен спектр поглощения двух полос DCI, для которых определены вращательные постоянные верхнего состояния. А. Мальцев

Х. 1963. 8

8cl

On file 292

1962

292

2964)

THE VACUUM ULTRAVIOLET SPECTRUM OF  
DCI. J. G. Stamper (National Research Council, Ottawa).  
Can. J. Phys., 40: 1274-5(Sept. 1962). (NRC-6942)

During an investigation of the absorption spectrum of DBr in the vacuum ultraviolet region, two bands were found which could only be ascribed to DCI. An experiment is described in which conditions were identical with those used to obtain the spectrum of DBr. The spectra were photographed in the ninth order of a 10-meter grating spectrograph giving a dispersion of about  $10 \text{ cm}^{-1}/\text{mm}$ . (W.D.M.)

MSA - 1963 - 17-3

1963

D Cl

pacres

млн. когдани.

Stutman J. H., Lippincott E. K., Steele D.

J. Chem. Phys., 1963, 39, 564(n 3)

Пацреев спектропсоконве-  
нция излучения при бензине  
поглощая, и это обозначает  
изменение поглощаемости  
вещества в зависимости от

(con. CO)

DCl

Friedmann H.  
Kimel S.

1964

newsp

NASA Accession No. N65-20011,

Rept. No. AD 612-089. 7 pp.  
(1964)

Interpretation of spectra of  
HCl and DCl in an argon  
matrix. (cu. flce)

X12081

Hill, Dec 1961, (overlaid notes,) 1963-1964  
Hill, Dec 1961, (overlaid notes)

Anderson A., Gethrie H.L., W.C. Mississippi.

Mallin Phys., 1963-1964, 4, 1965, 401-409 (cont'd)

For individual specimen of malachite  
crystals. I  
M. L. Anderson, October 11, 1963

Dec 1963, 45131 - 10

1964

KCl

Marram E. P.; Ragle F.L.

RCl

J. Chem. Phys., 41, 3546.

Molecular motion in solid KCl and RCl. Quadrupole coupling in the low-temperature phase.

1964

DC, r-p

Lietzke M.H., Straighton R.W.  
M. Ph. Ch., 1964, 68, 3043

Überprüfung zweier ♂DC von  
Microtus leucogaster.

EDC diverse

V. Teprovskia urens choicei  
weibliche ♂DC

$H^{35}Cl$ ,  $D^{35}Cl$  ( $\mu, n$ ) XI 2230

Rao B.S., 1965

Dissert. Abstr., 1965, 25(9),

1972-73

Molecular constants and potential  
constants of the  $H^{35}Cl$  and  $D^{35}Cl$ ,  
molecules.

Bailey

10

Di, Ho (DCE)      XI 1579      1968

Bowers M.T., Flygare W.H.,  
J. Chem. Phys., 1966, 44, N<sup>y</sup>,  
1389 - 404

10



PP66

Brunel h. C., Peyron M. 1966

C. r. Acad. sci., 1966, 262,  
1297.

Wynne

26

(Cnemid. see b map)  
M. n. see

M 1426

1966

HCl, DCl, HBr, DBr, CO

(*V*, *T*. *Ar*, Xe, Kr )

Friedmann H., Kimel S.

J.Chem.Phys., 1966, 44, N 11, 4359-4360

Rotation-translation coupling spectrum  
of matrix- isolated diatomic molecules  
in the near and far infrared

J

PX., 1967, 25122

M 1480

1966

$\psi$  ( HCl, DCl, C<sub>2</sub>H<sub>2</sub> )

Jouve P.

C.r.Acad.sci., 1966, C 262, N 6, 441-443

Effet de la substitution isotopique  
hydrogène- deuterium sur l'intensité  
des bandes d'absorption infrarouge

J

Px., 1966, 9D210

Ecl. Ph. H.

1966

DCL

keyser L. F. Robinson G.W.

J Amer. Phys. 1966, 45 N° 1654-1702

UK - Cukrový kábel DCL 6  
vlny 9-12c měření vlny 10-12c  
Tl. 1 mm nepravidelné

qp:1967:3D

euk H Ce

HCl; DCl (cyclic, di) X' 1899/966

Keyser L.F., Robinson G.W.,  
J. Chem. Phys., 1966, 44,  
N9, 3225-39



10

)

DCL D.E. Ellman, N. Acquista

J. Chem. Phys., 44(3), 3453-62.

Infrared spectra of HCl,  
DCl, HBr and DBr in solid  
rare-gas matrices.

ин. кристалл & молекулы

Di (cp) (HCl, DCl, HBr, DBr) # 2288

Savoie R., Anderson A . ,

J. Chim. Phys., 1966, 44, N<sub>2</sub>, 0  
548 - 56

Infrared and Raman studies  
of crystalline HCl, DCl, HBr,  
DBr.

pcp66

to Bafecis

Katz B., Ron A.; Schnepp D.

J. Chem. Phys., 1967, 46, 1926

longitudinal

24

(Crown, see b map)  
M.N. see

XI 2222

(1967)

HCl } (cneamphis noronheus, Di)  
DCl      "

Ranganath R., Whyte T. E., Theophanides T., Purrell G. C.

Spectrochim. Acta, 1967, A23, v4, 807-810

Infrared spectra of HCl and  
DCl in SF<sub>6</sub> matrices.

Publ. Gray, 1967, 128381.

10

1567

de

Sandor E, Farrow R.F.C.

suppli

J Nature 1967, 213, N5072, 171-172

Kreislauf. Supraleukozytose  
bei multiplem myelom  
Lympho- & granulozytose

X.1967.19

Cu UCL

M. n. (HF, HCl, DCl)

1268

" N 549

Webb D.U., Rao K.N.

J. molec. spectosc., 1268, 28, N2, 121-124  
(cm<sup>-1</sup>)

Vibration-rotation bands of heated  
hydrogen halides. J molec.  
spectrosc.

bagel

10

carb pk

(+)

Packard, 1269, 115282

$\text{H}_i$  ( $\text{HCl}$ ,  $\text{DCl}$ ,  $\text{HBr}$ ) 11

1969

XI - 30

Barnes A.J., Davies J.B., Hallam H.G.,  
Scrimshaw G.F., Hayward G.C.,  
Milward R.C.

Chem. Commun., 1969, n 19, 1079-1090  
Interferometric study of rotational  
motion of hydrogen halides trapped  
in low-temperature matrices.

Publ. 1970, 65233

10

Capeco

ESTE

1969

Zee

David Y. G.;  
Hallam H. E.

reviews.

U.K. review.

Trans. Faraday

1969, 65, 11, 2842

(see KEE) 111

1969

DCl (spec). HO M., u.g.

check RP

J. Chem. Phys., 1969,  
50, NY, 2949

[Cu. Hce] III

Dec

1969

hojko M.S.,  
Beers L.

fp. noctm.

y. Res. Nat. Beer.

Stand., 143, n2, 233.

(Cu. HgO) III

1969

X, 11. 12. (  $\text{RCl}^+$ ;  $\text{RBz}^+$ ) 81337

Marsigny L, Lebreton J,  
Pizzetti J.

C. T. Actuel Sci, 1969, 2268, 15, 220-222 (pp.)

Spectre d'émission de  $\text{RCl}^+$  et  $\text{RBz}^+$ .

Structure vibratoire de la transition

$\text{Zr}^{+2} - \text{Al}^+$

Pa X400, 1969, 135118

b)

g)

g)

1969

*DCl +**спектр*

13 Б118. Спектр испускания  $\text{DCl}^+$  и  $\text{DBr}^+$ . Колебательная структура перехода  $^2\Sigma \rightarrow ^2\Pi_i$ . Marsigny Louis, Lebreton Joseph, Ferran Jacques. Spectre d'émission de  $\text{DCl}^+$  et  $\text{DBr}^+$ . Structure vibrationalle de la transition  $^2\Sigma \rightarrow ^2\Pi_i$ . «С. г. Acad. sci.», 1969, C268, № 3, 220—222 (франц.)

Сняты спектры испускания электрич. разряда высокого напряжения в токе He, содержащего небольшие кол-ва  $\text{CDCl}_3$  и  $\text{CDBr}_3$ . В спектре  $\text{CDCl}_3$  обнаружено 11 новых полос ( $2880—3740 \cdot \text{см}^{-1}$ ) и в спектре  $\text{CDBr}_3$  12 полос ( $3190—4585 \cdot \text{см}^{-1}$ ), связанных с радикалами  $\text{DCl}^+$  и  $\text{DBr}^+$  соотв. Предложено отнесение наблюденных полос на основе таблицы Деландра.

Б. В. Рассадин

+1

x. 1969.

13

18

1969

DCl +

$^2\Sigma^+ \rightarrow ^2\Pi_J$

(10273u) Emission spectrum of DCl<sup>+</sup> and DBr<sup>+</sup>. Vibrational structure of the transition  $^2\Sigma^+ \rightarrow ^2\Pi_J$ . Marsigny, Louis; Lebreton, Joseph; Ferran, Jacques (Coll. Sci. Univ. Tours, Tours-Grandmont, Fr.). *C. R. Acad. Sci., Paris, Ser. C* 1969, 268(3), 220-2 (Fr). Emission spectra were recorded for a high tension (10,000 v., 250 v.-amp.) discharge through a He current contg. small amts. of CDCl<sub>3</sub> or CDBr<sub>3</sub>. Eleven new bands in the spectrum of the former and 12 new lines in the spectrum of the latter are attributed to  $^2\Sigma^+ \rightarrow ^2\Pi_J$  transitions in DCl<sup>+</sup> and DBr<sup>+</sup>, resp.

FBJF

+1

C.A. 1969:

70.24

X

Mee, Mee (unpublished) M.L. 4) 7770

Bienbaum G., Ho W., № 656

Chem. Phys. Lett. 1970, 5, № 6,  
334-6 (part 1)

Pure, rotational spectrum  
of hydrogen chloride and  
deuterium chloride in liquid  
sulfur hexafluoride.

10

CA, 1970, 73, M10, 50426W

XI-1069  
HCl, DCl 1/2e)

1970

Kaiser S. 25.,  
J. Chem. Phys., 1970, 53, N5,  
1686 - 1703



10

XI-1072

1970

HCl, DCl (0;)

Katz B., Ron A.,

Chem. Phys. Letters,

1970, 7, n3, 357-359

10

Recd, 1971, 76257

OCl

aq. b SF<sub>6</sub>

UK - checkups  
nowhere.

Pham W.H. et al. 1990

Chem. Phys. Lett.,  
7(2), 189.

(cav. kF) III

XI-1172

1970

HCl }  
DCl } (M. H.)

Tilford S. G., Ginter N. L.,

Vanderslice J. T.

y. Mol. Speedrose', 1970, 33 N<sup>3</sup>,



10

505-579

HCl<sup>+</sup>, DCl<sup>+</sup>(?)

" XI 77

1970

Weiss M. J., Lawrence G. M., Young R. A.  
J. Chem. Phys., 1970, 52, № 6, 2867-

-70 (анн.)

Photoelectron spectroscopy of  
hydrogen chloride and deuterium  
chloride using molecular beams.

ECTS

оригин.

6

10

СМ 1970, № 2, N 22, 116418к

XI-866

1971

HCC, DCC (kp., Y, cest. L., U. u.)

Blanchard Y., Brunel W.-P.,  
Peyron M.

C. r. Acad. Sci., 1971, 272, N°, 6366-



-13369

10

Dec (upset.)

Bruzel Y.-C.

1971

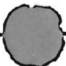
Peyron M.

C. R. Acad. sci., 272 (5),  
B320.

7.

met. n.

(act. McL) III -



$\text{Li}_2(\text{DCl})_2(\text{DCl})_3(\text{Vi})$  4 X12742 1971  
Davies J.B., Hallam H.E.,  
Trans. Faraday Soc., 1971, 67,  
N11, 3176-3190 (anu.)

Yuf - 2 - red cryogenic studies.  
Part 6. Deuterium chloride in  
argon and other matrices.

BPL 11.11.1972, 95245 to 8 (a)

1941

802

(DCl)<sub>2</sub>  
(DCl)3

спектр

в

матрице

?i

9 Б245. Изучение инфракрасных спектров поглощения при низких температурах. Часть 6. Хлористый дейтерий в аргоновой и других матрицах. Davies J. B., Hallam H. E. Infra-red cryogenic studies. Part 6. Deuterium chloride in argon and other matrices. «Trans. Faraday Soc.», 1971, 67, № 11, 3176—3190 (англ.)

Измерены спектры ИК-поглощения в области 2150—2000  $\text{cm}^{-1}$  DCl изолированного в матрицах Ar, Kr, SF<sub>6</sub>, CH<sub>4</sub>, N<sub>2</sub>, CO<sub>2</sub> и CO при величинах M/A от 1/200 до 1/1000. Измерены также ИК-спектры бинарных смесей DCl/X, где X=N<sub>2</sub>, CO<sub>2</sub> и CO, изолированных в матрице Ar. При низких конц-иях DCl в матрице наблюдалось поглощение, обусловленное мономерными молекулами DCl. В матрицах, обладающих сферич. симметрией заме-

ФМХ, 1942, № 9

щенных положений (Ag, Kr, SF<sub>6</sub>) наблюдается заторможенное вращение DCI. В указанных матрицах идентифицированы колебательно-вращательные полосы R(2) и P(2). Вращение DCI не обнаружено в матрицах с цилиндрич. симметрией замещенных положений (N<sub>2</sub>, CO<sub>2</sub>, CO). В Ag матрице детально изучена ассоциация молекул DCI. Идентифицированы циклич. димер и тример. В матрицах бинарных смесей изучено взаимодействие молекул DCI типа: DCI—X, (DCI)<sub>2</sub>—X и DCI—X—DCI. Отмечено, что взаимодействие DCI с N<sub>2</sub> и CO<sub>2</sub> имеет электростатич. характер, в то время как взаимодействие с CO обусловлено гл. обр. водородной связью. Ч. 5. см. РЖХЛм, 1971, 4Б267.

Г. Кузьянц

1941

DCl

(u.n.)

cryocmp  
6 mamp.

8441 Infrared cryogenic studies. 6. Deuterium chloride in argon and other matrices. Davies, J. B.; Hallam, H. E. (Dep. Chem., Univ. Coll. Swansea, Swansea, Wales). *Trans. Faraday Soc.* 1971, 67(Pt. 11), 3176-90 (Eng). Infrared spectra are reported of DCl in a variety of matrices at 20°K. At low DCl concns., absorptions due to monomeric DCl are obsd. Hindered rotation is obsd. in 3 matrices which offer spherically-sym. substitutional sites (Ar, Kr, SF<sub>6</sub>) and assignments are made to the vibration-rotation lines including R(2) and P(2). The rotational spacing for DCl decreases less from gas to matrix than for HCl as predicted by a rotational-translational coupling model. Rotation is not obsd. in matrices offering cylindrical substitutional sites (N<sub>2</sub>, CO<sub>2</sub>, CO) or in CH<sub>4</sub>. Matrix-induced frequency shifts show a similar behavior to those of HCl. A detailed study

C.S. 1942.

46 L

has been made of the assocn. of DCI in Ar matrices and the 2 dominant multimer bands that arise are assigned to cyclic dimer and cyclic trimer. Further bands assigned to higher multimers agree well with predictions from an intermol. resonance interaction model, though detailed study of HCl-DCI mixed multimers in Ar shows that this model is only fully successful in dealing with trimers and higher multimers. Spectra of binary mixts. of DCI/X in Ar (X = N<sub>2</sub>, CO<sub>2</sub>, and CO) show 3 groups of induced bands arising from DCI-X, (DCI)<sub>n</sub>-X and DCI-X-DCI interactions. With N<sub>2</sub> and CO<sub>2</sub> the interactions are thought to be largely electrostatic but CO has a much stronger effect suggesting a specific H-bond interaction involving the O atom.

HCl, DCl, HI, DI, HBr, DBr (u.n.)  $\rightarrow$  332  
2004, 1971

De Lucia F.C.,  $^{HF}$ ,  $^{HF}$ ; Helmlinger P., Gordy W.

Phys. Rev. A: Gen. Phys., 1971, 3, N6,

b 1849-1857 (ann.)

Submillimeter-wave spectra  
and equilibrium structures  
of the hydrogen halides.

DQDZ



Physica, 1972, 15222 10

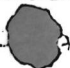
(P)

2 Ce (p-p)

Peterhald J.P.  
at all

1941

spacex Chem. Phys. Lett., 1971,  
see KJFM RP 8, N6, 553-561



(Cee. Hce) II

DC

Perrot M. et al. 1971

Ber. Bunsenges. phys.  
Chem., 75 (3-4), 346.

energetics  
noneoc  
noneocy.

● (cell. KCl) III

HCl, DCl (u.n.)

$\lambda = 3000\text{\AA}$

1971

Tilford S. G., Ginter M. Z.,  $\lambda 2887$

J. Mol. Spectrosc., 107, 40, N3, 588-599  
1970,  $\lambda \text{nm}$  Baug (area)

Electronic spectra and structure of the hydrogen halides:

states associated with the  $(\sigma^2 \pi^3) \text{c}\pi$  and  $(\sigma^2 \pi^3) \text{c}\sigma$  configurations of HCl and DCl.

Bkgrd, 1972, 8D383

DCl

ClIF<sub>2</sub>

QD

KCl

ACI

Veseth L.

1941

M. H.

J. Mol. Spectrosc. 1941.  
J. 38, N 2, 288-248.

(Cu. Cah) II

HCl, DCl (u.n.) XI 2877 1972  
Rosenberg J., Lightman J., Ben-  
Reuven J.  
J. Quant. Spectrosc. dual Radiat.  
Transfer, 1972; 12, N2, 219-226  
(cont.)  
Interferometric measurements  
of the pure rotational spectra  
of HCl and DCl.

Bye Pus, 1972, 6D475 10-3 Ⓢ

30809.1117

Ch, Ph, TE

Dcl

35223  
vi

1973

25-1364

Bertie John E., Falk M. Victor.

The infrared spectrum of the hydrogen-  
bonded molecule dimethyl ether... Hydro-  
gen chloride in the gas phase.

"Can.J.Chem.", 1973, 51, N11, 1713-1720

(англ., рез. франц.)

915 915929 0936 ник ВИНИТИ

HCl

1973

отмеч 4963

HCl

M.H.

17 Б10. Непригодность приближения Борна—Оппенгеймера для двухатомных молекул. Константы дипольного момента и ядерного квадрупольного взаимодействия.  
Bunker P. R. The breakdown of the Born—Oppenheimer approximation for a diatomic molecule: the dipole moment and nuclear quadrupole coupling constants.  
«J. Mol. Spectrosc.», 1973, 45, № 1, 151—158 (англ.)  
Рассмотрено поведение коэффициентов разложения в ряд по степеням  $x = (B_e/\omega_e)(v+1/2)$  дипольного момента  $\mu$  и постоянной ядерного квадрупольного взаимодействия  $eQq$  для двухатомных молекул при переходе от приближения Борна—Оппенгеймера к адиабатич.

X. 1973 N 17

(41)

62<sup>х</sup>  
ат.  
мол.

☒

приближению и неадиабатич. решению. Представлены квадратичные по  $x$  выражения  $\mu$  и  $eQq$  для основного  $^1\Sigma$ -состояния гетероядерной двухатомной молекулы. В приближении Борна—Оппенгеймера изотопич. зависимость  $\mu$  определяется мех. и электрич. ангармоничностью, а  $eQq$  — мех. ангармоничностью и изменением градиента электрич. поля при изменении межъядерного расстояния. При переходе от этого приближения к более высоким изотопич. зависимости  $\mu$  и  $eQq$  существенно увеличивается, так что неадиабатич. поправка является определяющей для наблюдаемой изотопич. зависимости. В кач-ве примера приводится расчет  $\mu$  и  $eQq$  для HCl и DCl.

М. Е. Ерлыкин

40219.7556

TE, Ph, Ch

РСЛ

40892

1973

1747

Girardet C., Robert D. Structure of the dimers of HCl and DCI trapped in monoatomic matrix and near infrared absorption. "J.Chem.Phys.", 1973, 59, N9, 5020-5041

(англ.)

0047 №МК

030 0320 40

ВИНИТИ

φcl.

C. Girardet  
Φ. Robert.

1973.

(u.n)

"J. Chem. Phys"

1973, 58, N10, 4110-30.

Far infrared spectra of dimers.

annuus 2993

1973

scl

S.C. Harlock u.g.p.

(Ei)

Meth. Soc. Roy Sci Liege.  
1971, 1 (2); 87-97

BCL

1973

Miller, Carl S. et al.  
At. Data 1973, 5(I), I-49.

Li II.

● (cer. LiII; III)

DCl<sup>+</sup>, HCl<sup>+</sup> (npeluccio et al.; L1973  
Cresce Report)

Raftery J., Richards W.G., XI 3582

J. Phys. B: Atom. and Mol. Phys., 1973,  
6, 17, 1301-1307 (au71).

Prediction of a predissociation in the  
 $A^2\Sigma^+$  states of HCl<sup>+</sup> and DCl<sup>+</sup>.

Publ. 1974, 2523



10



30906, 1885

Ph, MGU, Ch, Te

DCL

1973

30063

у-1691

Raftery J., Richards W.G. Prediction of  
a predissociation in the  $\Lambda^2\Sigma^+$  states  
of HCl<sup>t</sup> and DCl<sup>t</sup>.

"J. Phys. B: Atom. and Mol. Phys.",  
1973, 6, N 7, 1301-1307 (энерг.)

030? БИК

931 933 950

ВИНИТИ

sce<sup>+</sup>

Omnium U - 1691

1973

Raftery J; Richards W.G.

References:

"J. Phys. B: Atom and mol.  
Phys." 1973, 6 N 7, 1301-7.

(see: HCl<sup>+</sup>; III)

HCl<sup>+</sup>; DCl<sup>+</sup> (n.n.)  $\lambda \approx 370\text{\AA}$ .

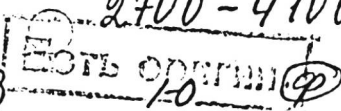
1973.

Sheasley W. D., Mathews C. W.,

J. Mol. Spectrosc., 1973, 44, N3,  
420 - 439 (amu)

The emission spectra of H<sup>35</sup>Cl<sup>+</sup>,  
H<sup>37</sup>Cl<sup>+</sup>, D<sup>35</sup>Cl<sup>+</sup>, and D<sup>37</sup>Cl<sup>+</sup> in  
the region 2700 - 4100 Å.

Бюлл. 1974, 75143



31129.1821

Ph, TE, CH

*Dcl*<sup>+</sup>

1973

41125

1380

Sheasley W., David, Mathews C., Weldon,  
 The emission spectra of H<sup>35</sup>Cl<sup>+</sup>, H<sup>37</sup>Cl<sup>+</sup>,  
 D<sup>35</sup>Cl<sup>+</sup>, and D<sup>37</sup>Cl<sup>+</sup> in the region 2700-  
 4100 Å.

"J. Mol. Spectrosc.", 1973, 47, N 3,

420-439 (англ.)

1013

(см. также HCl, III)

991 993 4006

5 винити

DCl, (u.n., ?) XI 3604

(SF. 4-1237/1973)

Perzwilliger D. T., Smith A. L.

J. Mol. Spectrosc., 1973, 45, n<sup>o</sup> 3, 366-378  
(part 1).

Analysis of autoionizing Rydberg states  
in the vacuum ultraviolet absorption  
spectrum of HCl ( ) and DCl.

Feu. 9/1973, 110-593

10

HF; DF; HCl; DCl; HBr; DBr (ш.н.) 1973

3451 Володичева М.И., Ребане Г.К.  
Всесоюз. Ленингр. Ун-та, 1973, №  
38-45 (русск.)

Влияние колебаний ядер на  
изомеризационную составляющую  
ионизирующего излучения в экранирова-  
нии кротона в мицеллах  
гидрогенводородных сополимеров

Редане, 1973, 155239 106 стр.

Watson J.K.G.

1973

J. Molecul. Spectrosc.,  
1973, 45, 99

Wynne

16

( $r_e$  &  $\Omega ce$ .)  
M.N.  $\Omega ce$

DCl

1973

19 Б110. Колебательно → трансляционно-вращательная и колебательно → колебательная релаксация в системах DCl. Zittel Paul F., Mooge C. Bradley.  $V \rightarrow T$ ,  $R$  and  $V \rightarrow V$  relaxation in DCl systems. «J. Chem. Phys.», 1973, 58, № 7, 2922—2928 (англ.)

С использованием техники лазерной флуоресценции определены и затабулированы константы скорости колебательно→трансляционно-вращательной релаксации DCl (I) ( $v=1$ ) под действием I, He, Ne, Ar, H<sub>2</sub>, D<sub>2</sub>, HD и HCl (II) ( $v=1$ ) под действием He, а также константы скорости колебательно→колебательной (к→к)-релаксации I, II и CO (III) под действием III, N<sub>2</sub>, NO, O<sub>2</sub>, DBr, Dy, SF<sub>6</sub> ( $v_3$ ), CD<sub>4</sub>. Зависимость вероятностей к→к-релаксации от разности в энергиях качественно указывает на роль вращения в удалении избытка колебательной энергии. Отмечена роль вида потенциала взаимодействия для процессов к→к-релаксации I, II под действием различных двухатомных молекул. Измерена к→к-релаксация II под действием O<sub>2</sub><sup>16</sup> и O<sub>2</sub><sup>18</sup>, что позволило определить вероятность многоквантового процесса II ( $v=1$ ) + O<sub>2</sub><sup>16</sup>, O<sub>2</sub><sup>18</sup> ( $v=0$ ) → II ( $v=0$ ) + O<sub>2</sub><sup>16</sup>, O<sub>2</sub><sup>18</sup> ( $v=2$ ) +  $\Delta E = 203, -30$  см<sup>-1</sup>.

По резюме

Колеб.  
Релакс.

X.1973 19

40329.7221  
Ch, TE

Dcl 35223

1974  
02

снегр

\* 45-4256

Gilbert A.S., Bernstein H.J.

Thermodynamics and spectroscopy of the hydrogen bonded complex formed between hydrogen (deuterium) chloride and dimethyl ether in the gas phase by Raman scattering.

"Can.J.Chem.", 1974, 52, N 4, 674-677

(англ., рез. франц.)

059 062

037

0074 БИБ ВИНИТИ

1974

 $\text{DCl}^+$ 

штепс.

кальви.

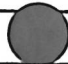
8 mn.

Изучение излучения для сме-  
щений  $A^2\Sigma \rightarrow X^2\Pi_i$  ионов

$\text{HCl}^+$ ,  $\text{DCl}^+$  и  $\text{HB}_2^+$

Haugh Michael J.

$J. Mol. Spectrosc.$  1974, 51, N1,  
123-124 (анн.)



( $\text{HCl}^+$ ; III)

x. 1974. N 21

50204.7380  
Ph,Ch,Tc

$e^{2g}, K, e^{2g}/K$   
DCl 36526GR 02

1974  
2918

Kukolich S.G.

Deuterium quadrupole coupling in the  
gas phase.

"Mol. Phys.", 1975, 29, N 1, 249-255

(англ.)

0295 ник

273 276

ВИНИТИ

51126.6705

Ch, Ph, TC, MGU

96201

( $\mu$ ) Dcl

1975

\* 0-10597

Katô H. Nonadiabatic contribution to  
the dipole moment of HCl.

"Chem. Phys. Lett.", 1975, 36, N 2,  
256-258

(англ.)

0508 кмк

480 482

500

ВИНИТИ

50812.7632

31603

1975

Ch, Ph, TC

OCL (min) #3-9699

Rossi I., Brodbeck C., Bouanich J.P.,  
Nguyen-Van-Thanh. Etude théorique du dépla-  
cement de fréquence des molécules dia-  
tomiques en solution liquide. Application  
à la fréquence fondamentale des molécules  
HF, HCl, DCl, HBr, HI, CO et NO en solu-  
tion  $\text{CCl}_4$ . "Spectrochim. acta", 1975,  
A31, N 4, 433-443

DCl

Terwilliger D.

1975

cereus  
norous.

"J. Chem Phys" 1975, 63,  
N2, 1008-1020 (air)  
(air HCl; irr)

DCl

1975

Liesel J.P.

форма  
энерг.  
зависит.  
напр. сечи.

"J. Chem Phys" 1975,  
63, N5, 1943-1949  
(авт.)

(см HCl; III)

70228.3437

Ch, Ph, MGU, TC

DCl 40892

(ч.и.)

1976

ХС-17132

Boulet C., Robert D., Galatry L.  
Shifts of the vibration-rotation absorption lines of diatomic molecules perturbed by diatomic polar molecules. A theoretical analysis. "J. Chem. Phys.", 1976, 65, N 12, 5302-5314 (англ.)

(ч.и. HCl; III)

0822 ЗМК

613

ВИНИТИ

793 801

DCL

1976

Brunel L.C. et al.

Proc. Int. Conf. Raman  
Spectrosc., 5th 1976, 96-7  
(Eng.)

envelope b  
warm pulse

Cell. HCl - II

Сер. № СГДи

70407.7740

34469

1976

TC, Ph

DCl

# 9-17785

Ghosh Pradip ■■■■■  
N.

Internal vibrations of HCl, DCl, HBr &  
DBr in the crystalline phase.

"Indian J. Pure and Appl. Phys.", 1976,  
14, N 4, 321-322 (англ.)

0848 РИК

810 810

ВИНИТИ

61209.3550

40891

1976

Ch, Ph, TC

JCL

X

4-15658

Chihara Hideaki, Inaba Akira.

Thermodynamic properties of solid hydro-  
gen halides and deuterium halides. I.

HCl and DCI."J.Chem.Thermodyn.", 1976, 8,

№ 10, 915-934 (англ.)

075.8 пык

7812 716

ФИФО

ВИНИТИ

DC

1976

Collins L.A., et al

Phys. Rev. A: Gen. Phys.

1976, 14 N 4, 1358-67.

(ib. alex.  
Kester  
and K. He)

(au HCl; III)

70311.2137

25065

1976

Ph, DB, TC

*DCl*

OFT.

4938

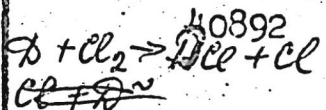
Gordy W. Spektroskopie v daleké  
infracervené oblasti s použitím mikrovln-  
né techniky. "Chem. listy", 1976, 70,  
N12, 1244-1260 (чеш., рез. англ.)

0832 ник

788 789 823

ВИНИТИ

60503.7216  
Ch, Ph, TC



1976  
4213

Halavée U., Shapiro M.

A collinear analytic model for atom-diatom chemical reactions.

"J.Chem.Phys.", 1976, 64, N 7, 2826-2839  
(англ.)

0805 РНК

591 592

597

ВИНИТИ

61115.118

41125

1976

Ph, Ch, TC

 $\delta Cl^+$ 

\* 4-15031

Saenger Katherine L., Zurek Richard N., Mathews G. Wolden. A reexamination of the spin-rotation constant for  ${}^2\Pi$  states: the  $\pi$ -A-X band system of HCl.

"J. Mol. Spectrosc.", 1976, 61, N 2,  
216-230 (амер.)

0747, мкм

(амер.  $HCl^+; m$ )

704 708

7.39

ВМНИИТИ

60414.1965

Ph, TC, MGU, Ch

ФСС (Физическая  
химия)  
92073

1976

ХУ-12444

Toyoda Minoru, Ogawa Teiichiro, Ishibashi Nobuhiko. Formation of excited molecules and atoms by controlled electron impact on hydrogen chloride and chlorinated methanes.

"Bull. Chem. Soc. Jap.", 1976, 49, N 2,  
384-389 (англ.)

0601 УМК

580 580

ВИНИТИ

DCL

Ammanick 5450

1977

87: 13782c High-resolution measurements on the infrared absorption  $3 \leftarrow 0$  band of deuterium chloride. Niay, P.; Coquant, C.; Bernage, P.; Bocquet, H. (Lab. Spectrosc. Mol., Univ. Sci. Tech. Lille, Villeneuve d'Ascq, Fr.). *J. Mol. Spectrosc.* 1977, 65(3), 388-94 (Eng). High-resoln. measurements of the wave nos. of the  $3 \leftarrow 0$  band lines are reported for the 2 isotopic species  $D^{35}Cl$  and  $D^{37}Cl$ . Mol. consts. are given, which best reproduce all the available data. By comparing exptl.  $Y_{ij}$  consts. to the caled. ones obtained from  $H^{35}Cl$ , the TCl  $Y_{ij}$  consts. were deduced. A new dipole moment series expansion for DCl was also computed.

4.1.11

C. H. 1977 87 N2

DCL

отмеч. 5450

1977

24 Б257. Измерения с высоким разрешением инфракрасной полосы поглощения 3—0 хлористого дейтерия.  
Niau P., Coquart C., Bernage P., Bosquet H.  
High-resolution measurements on the infrared absorption  
3→0 band of deuterium chloride. «J. Mol. Spectrosc.»,  
1977, 65, № 3, 388—394 (англ.)

Измерены волновые числа 33 вращательных линий полосы 3—0  $D^{35}Cl$  и 30 вращательных линий  $D^{37}Cl$  с помощью спектрометра типа СИСАМ с теор. разрешением  $0,028 \text{ см}^{-1}$ . Для большинства линий эксперим. ошибка измерения составляла менее  $0,010 \text{ см}^{-1}$ . Для  $D^{37}Cl$  и  $D^{35}Cl$  рассчитаны молек. постоянные:  $\omega_e = 2142,060 \text{ см}^{-1}$ ,  $B_e = 5,432848 \text{ см}^{-1}$  и  $\omega_e = 2145,187 \text{ см}^{-1}$ ,  $B_e = 5,448849 \text{ см}^{-1}$  соотв., а также значения  $Y_{ij}$ . Постоянныес  $Y_{ij}$  DCl рассчитаны также из данных для  $H^{35}Cl$  и отмечено хорошее согласие расчетных и экспе-

ж. 1977, № 24

рим. значений для  $D^{37}\text{Cl}$ . Сделан вывод, что точность измерений и число наблюдаемых полос не достаточно, чтобы установить отклонения от приближения Борна—Оппенгеймера. Обсуждаются причины отличия расчетных и наблюдаемых значений коэф. Дэнхема  $Y_{01}$  и  $Y_{10}$  для  $D^{35}\text{Cl}$ . Получены значения молек. постоянных TCI. Рассчитана величина матричного элемента  $\mathfrak{M}_{0,0,4}$ , равная  $9,72 \cdot 10^{-5} D$ , и ряда дипольных моментов для DCI. Отмечено различие в значениях  $M_4$ , определенных разными способами, в то время как остальные  $M_i$  находятся в хорошем согласии.

С. Б. Осин

(5)4=

1977

DCl

отмеч 5450

12 Д404. Измерение инфракрасного поглощения в полосе  $3\leftarrow 0$  хлористогодейтерия при высоком разрешении. Niay P., Coquart C., Bergane P., Bocquet H. High-resolution measurements on the infrared absorption  $3\leftarrow 0$  band of deuterium chloride. «J. Mol. Spectrosc.», 1977, 65, № 3, 388—394 (англ.)

На спектрометре SISAM с разрешением  $0,028 \text{ см}^{-1}$  измерена вращательная структура полосы обертона  $3\leftarrow 0$  молекул  $D^{35}\text{Cl}$  и  $D^{37}\text{Cl}$  в многоходовой кювете с эффективной длиной оптич. пути 24—224 м и при давл. 50—100 мм рт. ст. С точностью до  $0,010 \text{ см}^{-1}$  измерены волни. числа 33 линий  $D^{35}\text{Cl}$  и 30 линий

Р. 1977, N12

$D^{37}Cl$ . Определены значения первых 12 спектроскопич. констант  $Y_{ij}$ , из которых вычислены значения первых семи коэф. Дэихема. По значениям констант  $Y_{ij}$  молекул HCl и DCl с использованием изотопич. соотношений вычислены константы  $Y_{ij}$  для TCl. Измерены также интенсивности линий полосы  $0 \rightarrow 3$  DCl, из которых в сочетании с литературными данными для других полос DCl и полос HCl вычислены значения первых четырех производных дипольного момента по смещению.

М. Р. Алиев

DCl

1978

Brunel, Louis  
Claude; et al

Chem. Phys. 1978, 23(3),  
387-97(Eig)

paper  
mekip &  
carbone

corr. HCl-II

*Zamorella macerula*

1978

HCl

Ramakrishna et al

*uccoswamus*  
*macerula*

Chem. Phys.lett., 1978,  
54, N4, 554-60



att. H<sub>2</sub> - III

Д Cl

Д Br

9/11

(41) 18

2 Б244. Изучение галоидоводородов, изолированных в одноатомных матрицах. I. Спектры в ближней инфракрасной области и агрегатные структуры. Mailard D., Schriver A., Perghard J. P., Giscard C. Study of hydrides trapped in monatomic matrices. I. Near infrared spectra and aggregate structures. «J. Chem. Phys.», 1979, 71, № 1, 505—516 (англ.)

Измерены ИК-спектры поглощения  $\text{H}^{35}\text{Cl}$ ,  $\text{D}^{35}\text{Cl}$ ,  $\text{HBr}$ ,  $\text{DBr}$  и их смесей различного состава в матрицах из аргона и криптона при т-рах 10—30 К. Измерения проводили в широком интервале конц-ий при разбавлениях от 1000 до 20. Исследование структуры полимеров осуществляли путем измерения изотопных сдвигов и анилирования матриц. В области мономеров идентифицированы Q-линии молекул при низких разбавлениях. Появление в спектрах запрещенных переходов объяснено влиянием искажения решетки на изолированные молекулы. Как для  $\text{HCl}$ , так и для  $\text{HBr}$  наблюдены

2.1980.№

полосы димеров. Для них принято несимметричное строение, в к-ром фрагменты  $\text{HX}$  ( $\text{X}=\text{Cl}, \text{Br}$ ) связаны слабой Н-связью и расположены приблизительно ортогонально. Более высокочастотная полоса ( $2855,5 \text{ см}^{-1}$  для  $\text{HCl}$  и  $2550,3 \text{ см}^{-1}$  для  $\text{HBr}$ ) соответствует менее возмущенной молекуле, обладающей электронодонорными свойствами, более низкочастотная полоса димера ( $2817,8 \text{ см}^{-1}$  для  $\text{HCl}$  и  $2486,4 \text{ см}^{-1}$  для  $\text{HBr}$ ) — молекуле-акцептору. Неэквивалентность молекул  $\text{HX}$  в димерах характеризована различными значениями силовых



DCl<sub>(n)</sub> 1979  
Morales P., et al.  
No, U.K. camp  
noway Phys. Lett. 1979, A74,  
N5, 335-36.

cu. HCl -  $\frac{1}{2}$

DCl

1979

Wiesenfeld ~~yayall.~~  
et al.

U.C. crackup  
polymer

J. Chem. Phys. 1979,  
70, N<sub>2</sub>, 930 - 46.



corr. HCl - III

DCL

Lommelca 11337 | 1981

Guelachvili & et al.

Circumstances, J. Mol. Spectrosc., 1981,  
Vol. 85, 271-81.



(All HCl; III)

*DCl*  
*(DCl)<sub>2</sub>*

*процессор.  
колебат.  
релаксац.*

*Он. 18038*

*1983*

4 Д173. Колебательная релаксация и колебательная предиссоциация в газе DCl. Vibrational relaxation and vibrational predissociation in DCl gas. Чесноков Ю. «J. Chem. Phys.», 1983, 79, № 6, 2793—2798 (англ.)

Путем регистрации индуцированной лазером флуоресценции с разрешением во времени измерены времена колебательной релаксации молекул DCl в сжатом газе DCl при т-рах в диапазоне от —95° С до 55° С. Показано, что при малых давлениях эксперим. результаты хорошо описываются в рамках общезвестных моделей колебательной релаксации в газах. Однако при увеличении давления наблюдается отклонение эксперим. времен релаксации от теоретических. Это отклонение интерпретировано как проявление предиссоциации димеров колебательно-возбужденных молекул с образованием сильно вращательно возбужденных молекул в основном колебательном состоянии. А. И. Ш.

*ф. 1984, 18, N 4*

*(DCl)<sub>2</sub>*

ДС

Он. 16650, 17553

1983

9 Д492. Ридберговские состояния с остовом  $a^2\Pi$  состояния  $b^3\Pi$  и  $C^1\Pi$  DCI. Rydberg states with  $a^2\Pi$  core. The  $b^3\Pi$  and  $C^1\Pi$  states of DCI. Huber K. P., Alberti F. «J. Mol. Spectrosc.», 1983, 97, № 2, 387—404 (англ.)

С помощью 10,7-метрового спектрографа исследованы полосы 0—0 и 0—1 спектра поглощения  $X^1\Sigma^+ \rightarrow b^3\Pi$  и  $X^1\Sigma^+ \rightarrow C^1\Pi$  молекулы DCI и проведен анализ вращательной структуры ридберговского комплекса  $[X^2\Pi] 4s\sigma$ . Показано, что в обоих состояниях комплекса  $\Lambda$ -расщепление мало, тогда как спин-орбитальное взаимодействие, связанное с остовом  $[X^2\Pi]$ , велико и приводит к возмущению триплетного расщепления в состоянии  $b^3\Pi$ , антипересечению близко лежащих уровней  $b^3\Pi_0$  ( $v=1$ ) и  $C^1\Pi_1$  ( $v=0$ ) и аномальному расположению интенсивностей  $R$ -ветви перехода  $X^1\Sigma^+ \rightarrow b^3\Pi_0$ . Для отношения моментов переходов орбиталей  $3p\sigma$  и  $3p\pi$  на орбиталь  $4s\sigma$  получена оценка  $\mu_{||}/\mu_{\perp} \approx 0,5$ . Определены молекулярные постоянные состояний  $b^3\Pi$  и  $C^1\Pi$ . Библ. 22.

А. В. Н.

90. 1983, 18, № 9

Дел 16650, 14553 1983

17 Б202. Ридберговские состояния с остовом  ${}^2\Pi$ .  
Состояния  $b^3\Pi_i$  и  $C^1\Pi$  DCI. Rydberg states with a  ${}^2\Pi$   
core: the  $b^3\Pi_i$  and  $C^1\Pi$  states of DCI. Huber K. P.,  
Alberti F. «J. Mol. Spectrosc.», 1983, 97, № 2, 387—  
404 (англ.)

В вакуумной УФ-области с дисперсией 0,16 Å/мм из-  
мерены спектры поглощения молекул  $D^{35}Cl$  (полосы  
 $0-0$  и  $1-0$  переходов  $b^3\Pi_i-X^1\Sigma^+$  и  $C^1\Pi-X^1\Sigma^+$ ). Про-  
веден анализ вращательной структуры полос и рассчи-  
таны след. спектроскопич. постоянные ридберговского  
комплекса  $[X^2\Pi]4s\sigma D^{35}Cl$  ( $\text{см}^{-1}$ ): состояние  $b(v=0) —$   
 $T(\Omega=2)=74861,725$ ,  $T(1)=75169,125$ ,  $T(0^+)=75476,585$ ,  
 $T(0^-)=75476,465$ ,  $B^*=5,07504$ ,  $\Delta B(0^+)=0,004$ ,  $D=$   
 $=1,339 \cdot 10^{-4}$ , состояние  $b(v=1) — T(2)=76826,063$ ,  
 $T(1)=77133,60$ ,  $T(0^+)=77441,25$ ,  $T(0^-)=77441,04$ ,  $B^*=$   
 $=4,94632$ ,  $\Delta B(0^+)=0,00054$ ,  $D=1,315 \times 10^{-4}$ , состояние  
 $C(v=0) — T(1)=77455,320$ ,  $B^*=4,87821$ ,  $D=1,150 \times 10^{-4}$ ,  
 $q=-0,00187$ , состояние  $C(v=1) — T(1)=79419,850$ ,  $B^*=$

М-1;

1983, 19, N 17

$=4,77098$ ,  $D=0,976 \cdot 10^{-4}$ ,  $2=-0,00391$ . Для состояния  $b^3\Pi$  получены также значения  $\gamma^*$ ,  $p$  и  $q$ , равные  $-0,0743$ ,  $0,1665$  и  $-0,00299 \text{ см}^{-1}$ . Малые величины постоянных  $\lambda$ -удвоения интерпретированы в рамках модели чистой прецессии на базе соотв. соотношений, описывающих связь основного и первого возбужденного состояния  $\text{DCl}^+$ . Из наблюдаемого искажения триплетного расщепления вычислены эф. постоянные спин-орбитального взаимодействия для состояний ридберговского комплекса  $A_0^*$  и  $A_1^*$ , равные  $-307,33$  и  $-307,47 \text{ см}^{-1}$ . Показано, что спин-орбитальное взаимодействие приводит к пересечению близких по энергии уровней  $b^3\Pi_0(v=1)$  и  $C^1\Pi_1(v=0)$ , что в свою очередь вызывает возмущения в интенсивностях вращательных линий в  $R$ -ветви подполосы  $b^3\Pi_0-X^1\Sigma^+$  при низких  $J$ . Отмечено подобие наблюдавшихся аномалий вращательной структуры со спектрами  $\text{HBr}$ ,  $\text{DBr}$  и  $\text{HJ}$ . На основании анализа изменения интенсивностей вращательных линий в  $R$ -ветви этой полосы рассчитано отношение моментов переходов  $(\mu_{\perp}/\mu_{\parallel})=0,61$ , связанных с возбуждением Зрл или Зр $\sigma$  электронов остова на ридберговскую орбиталь  $4s\sigma$ . Аналогичный расчет проведен для  $\text{DBr}$ ,  $\text{HBr}$  и  $\text{HJ}$  и отмечено, что во всех случаях значения  $\mu_{\perp}/\mu_{\parallel}$  составляют  $\sim 0,5$ . Обсуждены возможные причины отклонения этого отношения от единицы.

С. Б. Осин

DCl

Om. 16650, 17553

1983

Pegleg  
cosmol. anal

$b^3\Pi_u - C^1\Pi_g$

C.A. 1983,  
98, N/4

1983: 116231d Rydberg states with a  $^2\Pi$  core: the  $b^3\Pi_1$  and  $C^1\Pi$  states of deuterium chloride. Huber, K. P.; Alberti, F. (Herzberg Inst. Astrophys., Natl. Res. Coun. Canada, Ottawa, ON Can. K1A 0R6). *J. Mol. Spectrosc.* 1983, 97(2), 387-404 (Eng). The rotational structure in the lowest Rydberg complex of HCl [ $X^2\Pi$ ]4s $\sigma$ , was reinvestigated. The study is limited to the spectrum of D $^{35}$ Cl, the HCl bands being too diffuse for a detailed anal. of 2nd-order effects. The  $\Lambda$ -type doubling in both component states;  $b^3\Pi_1$  and  $C^1\Pi_1$  is small since it arises from the uncoupling of the core rather than Rydberg orbital angular momentum. It can be interpreted in terms of pure precession relations that are known to exist between the ground and 1st excited states of DCl $^+$ . By contrast, the spin-orbit interactions, also originating in the core, are strong. In addn. to distorting the triplet splitting in  $b^3\Pi$ , they lead to an avoided crossing between the nearly coinciding levels  $b^3\Pi_0$  ( $v = 1$ ) and  $C^1\Pi_1$  ( $v = 0$ ). They are also responsible for anomalies in the  $b^3\Pi_0 \rightarrow X^1\Sigma^+$  R-branch intensities of DCl as well as of HBr, DBr, and HI. From the  $J$  values at the obsd.  $R$ -branch min. the ratio  $\mu_1/\mu_\perp$  of the transition moments was estd. assocd. with the excitation of a  $3p\sigma$  or  $3p\pi$  core electron to the 4s $\sigma$  Rydberg orbital of DCl and, correspondingly, of the other H halides.

$DCl^+$

dm. 16072

1983

7 Д613. Энергии ионизации для электронно-колебательных переходов  $DCl X^1\Sigma^+(v'=0) \rightarrow DCl^+ X^2\Pi(v''=0-18)$  и  $\rightarrow A^2\Sigma^+(v'=0-17)$ . Ionization energies for the vibronic transitions from  $DCl X^1\Sigma^+(v''=0)$  to  $DCl^+ X^2\Pi(v'=0-18)$  and  $A^2\Sigma^+(v'=0-17)$  determined by photoelectron spectroscopy. Pennetrea P., Natalis P., Longton L., Collin J. E. «J. Electron Spectrosc. and Relat. Phenom.», 1983, 28, № 4, 295—297 (англ.)

С высоким разрешением получены HeI- и Ne (I) (73,6—74,4 нм)-фотоэлектронные спектры DCl. Приведены энергии ионизации для переходов  $DCl X^1\Sigma^+(v''=0) \rightarrow DCl^+ X^2\Pi(v'=0-18)$  и  $\rightarrow DCl^+ A^2\Sigma^+(v'=0-17)$ . Определены спектроскопич. постоянные для состояний  $X^2\Pi$  и  $A^2\Sigma^+$  иона  $DCl^+$ .

Ю. В. Чижов

4/18



$DCl(3)$

09.1983, 18, N 7

$\text{DCl}^+$

On. 16072

1983

98: 98330d Ionization energies for the vibronic transitions from deuterium chloride  $X^1\Sigma^+(v' = 0)$  to deuterium chloride(1+) ion  $X^2\Pi(v' = 0-18)$  and  $A^2\Sigma^+(v' = 0-17)$  determined by photoelectron spectroscopy. Pennetreau, P.; Natalis, P.; Longton, L.; Collin, J. E. (Inst. Chim., Univ. Liege, B-4000 Liege, Belg.). *J. Electron Spectrosc. Relat. Phenom.* 1983, 28(4), 295-7 (Eng). A study of autoionization in DCl led to data for the vibronic transitions  $\text{DCl}^+ X^2\Pi(v' = 0-18) \leftarrow \text{DCl } X^1\Sigma^+(v'' = 0)$ , the energy values of which are presented. From these energy data, values for the mol consts. (vibrational waveno., anharmonicity const., dissociation energy, spin-orbit coupling const.) were derived in agreement with much more precise spectroscopic values. In addn., the 2nd photoelectron band of  $\text{DCl}^+$  which is due to transitions to the 1st excited electronic state  $A^2\Sigma^+$  was also investigated using the He(I) (58.4 nm) resonance line. As a result, the ionization energy values for the 18 vibronic transitions  $\text{DCl}^+ A^2\Sigma^+(v' = 0-17) \leftarrow \text{DCl } X^1\Sigma^+(v'' = 0)$  were measured; mol. consts. for the  $A^2\Sigma^+$  state were detd.

(u.n.)

C.A. 1983, 98, N12.

$\text{DCl}$   
 $\text{DCl}^+$

On. 16072

1983

) 12 Б176. Энергии ионизации для вибронных переходов от  $\text{DCl } X^1\Sigma^+ (v=0)$  к  $\text{DCl}^+ X^2\Pi (v'=0-18)$  и  $A^2\Sigma^+ (v'=0-17)$ , определенные методом фотоэлектронной спектроскопии. Ionization energies for the vibronic transitions from  $\text{DCl } X^1\Sigma^+ (v''=0)$  to  $\text{DCl}^+ X^2\Pi (v'=0-18)$  and  $A^2\Sigma^+ (v'=0-17)$  determined by photoelectron spectroscopy. Pennetrea P., Natafis P., Longton L., Collin J. E. «J. Electron Spectrosc. and Relat. Phenom.», 1983, 28, № 4, 295—297 (англ.)

Методом фотоэлектронной спектроскопии исследована возбуждаемая резонансными линиями Ne-I (73,6—74,4 нм) и He-I (58,4 нм) автоионизация молекул DCl с образованием ионов DCl<sup>+</sup> в состояниях  $X^2\Pi (v'=0-18)$  и  $A^2\Sigma^+ (v'=0-17)$ . Приведены энергии ионизации для указанных электронно-колебатель-

X. 1983, 19, N/2

ных переходов из состояния  $X^1\Sigma^+$  ( $v''=0$ ) DCI [ $E(0-0)$  равны соотв. 12,752 эВ и 16,291 эВ]. Получены след. значения молек. постоянных DCI $^+$  (в см $^{-1}$ ): состояние  $X^2\Pi - \omega_e = 1927 \pm 20$ ,  $\omega_e x_e = 26$ ,  $A = 645 \pm 8$ ,  $D_e = 35\,700$ ; состояние  $A^2\Sigma^+ - \omega_e = 1142 \pm 20$ ,  $\omega_e x_e = 18$ ,  $D_e = 17\,720$ . Значения  $D_e$ , вычисленные по формуле  $D_e = \omega_e^2 / 4\omega_e x_e$  и по методу Берджа — Шпонера, совпадают.

»

В. М. Ковба

$\Delta Cl_{p-p}$

1984

Бұлғашев М. О., Бұз-  
Марсекеев В. Н., и.гр.

УК-спектрі

Оптика с электро-  
скоростями, 1984, 56, №5,  
813-820.

(см.  $HCl_{p-p}$ ; III).

*DCl<sup>+</sup>*

*OM-20 788*

*1984*

14 Б1216. Детектирование методом лазерного магнитного резонанса в средней инфракрасной области фундаментальной полосы ион-радикала DCl<sup>+</sup>. Mid-infrared laser magnetic resonance detection of the fundamental band of the radical ion DCl<sup>+</sup>. Hinz A., Bothe W., Zeitz D., Werner J., Seebass W., Urban W. «Mol. Phys.», 1984, 53, № 4, 1017—1021 (англ.)

Методом лазерногомагн. резонанса в средней ИК-области измерены колебательно-вращат. переходы в основной полосе 1—0 иона DCl<sup>+</sup>, образующегося в разряде постоянного тока через смесь He(3 мм) и DCl (5—7·10<sup>-3</sup> мм). Приведены частицы линий Q(1,5), Q(2,5), R(1,5), R(2,5), P(2,5), P(3,5) D<sup>35</sup>Cl<sup>+</sup> и Q(1,5), Q(3,5), R(1,5), R(2,5), P(3,5) D<sup>37</sup>Cl<sup>+</sup>. Для низших компонент зеемановского расщепления зарегистрирована СТС. С использованием гамильтониана Брауна рассчитаны след. спектроскопич. постоянные (см<sup>-1</sup>): D<sup>35</sup>Cl<sup>+</sup>— $\Delta G = 1864, 12458$ ,  $B^1 = 5,119841$  (D<sup>37</sup>Cl<sup>+</sup>— $\Delta G = 1861,4630$ ),  $B_1 = 5,104993$ . Полученные значения хорошо согласуются с данными оптич. спектроскопии.

С. Б. Осин

*X.1985, 19, N14*

*M.N.*

*DCl<sup>+</sup>*

*от 20788*

*1984*

7 Л139. Исследование магнитного резонанса фундаментальных полос ион-радикала DCl<sup>+</sup> в ИК-области с помощью лазерного спектрометра. Mid-infrared laser magnetic resonance detection of the fundamental band of the radical ion DCl<sup>+</sup>. Hinz A., Bohle W., Zeitz D., Werner J., Seebass W., Urban W. «Mol. Phys.», 1984, 53, № 4, 1017—1021 (англ.)

С помощью лазерного спектрометра на основе CO<sub>2</sub>-лазера, перестраиваемого в области 1825—1897 см<sup>-1</sup>, исследовано фарадеевское вращение плоскости поляризации проходящего света в газовой кювете, содержащей DCl. Измерения проведены во внешних магн. полях до 3 Тл, создаваемых сверхпроводящим соленоидом с теплой полостью. В условиях газового разряда в кювете возбуждались ион-радикалы DCl<sup>+</sup>, наличие которых могло быть зарегистрировано по наблюдению резонансного вращения на фиксированной частоте в перем. магн. поле. Всего наблюдалось 25 резонансов, обусловленных колебательно-вращательными переходами в ионах D<sup>35</sup>Cl<sup>+</sup>, и 13 резонансов для ионов D<sup>37</sup>Cl<sup>+</sup>. Сопоставление полученных результатов с теорией позволило определить молекулярные постоянные ионов DCl<sup>+</sup>.

К. Э. М.

*ll: n, Di*

*оф. 1985, 18, № 7*

HCl

1984

Teillet-Billy D., Gaugy@cg  
J.P.,

et al. Wavefunct. and Mech.

Electron Scattering Pro-  
cess. Berlin e.a., 1984,

126-128. (cc. HCl;  $\hat{v}$ )

DLl

1985

Domcke W., Mündel C.

J. Phys. B: Atom. and  
Mol. Phys., 1985, 18,  
N 22, 4491-4509.

(See: Hel; III)

Dei

[OM- 36747]

1985

Nasrallah H. K.,

Marmet P.

Ei; Z. Phys. B: Atom. and  
Mol. Phys., 1985, 18,  
N 10, ~~444-449~~ 2075-2086

(cav. HCl; II)

DCL

1985

Ovchinnikova M. Y.

коэффициент  
реакции

Chem. Phys., 1985,  
93, N 1, 101-113.

• (см. АСЛ, III)

All

1985

Singh Surjit.

J. Mol. Struct., 1985,

127, N 3-4, 203-208.

(crys. OH; III)

All

1986

Bernikov M. A.,

Bulanin M. O., et al.,

IlK-crekmpo<sup>y</sup> J. illoL. Liq., 1986,  
nozeorzezevus 32, N<sup>o</sup> 1, 25-40.

(c.c. HF;  $\overline{II}$ )

*DCl<sup>+</sup>*

*1986*

*№ 22 Б1364.* Колебательно-вращательная спектроскопия молекулярных ионов с открытыми оболочками. Фарадеевский лазерный магнитный резонанс DCl<sup>+</sup> в разряде постоянного тока. *Vibration rotation spectroscopy of open-shell molecular ions. Faraday-L. M. R. of DCl<sup>+</sup> in a d. c.-discharge.* Bohle W., Wernig J., Zeitz D., Hinz A., Urban W. «Mol. Phys.», 1986, 58, № 1, 85—95 (англ.)

*Методом лазерного (CO-лазер)магн. резонанса измерены колебат.-вращат. спектры DCl<sup>+</sup>(X<sup>2</sup>P<sub>3/2</sub>) (переходы  $v+1 \leftarrow v$ ,  $v=0-6$ ). Ионы DCl<sup>+</sup> получались в разрядном источнике постоянного тока (давл. He  $\approx 2$  мм, давл. DCl  $\approx 10^{-3}$  мм). С помощью небольшой пробной катушки модуляции исследовано пространственное рас-*

*м.п.*

*X. 1986, 19, № 22*

пределение ионов вдоль разрядной трубы при различных условиях возбуждения. Приведено положение и отнесение наблюдавшихся переходов. Получены след. значения спектроскопич. постоянных  $D^{35}Cl^+(X^2\Pi_{3/2})$  (в  $\text{см}^{-1}$ ):  $\omega_e = 1919,47685$ ,  $\omega_e x_e = 27,91068$ ,  $\omega_e y_e = 0,143857$ ,  $\omega_e Z_e = 2,167 \cdot 10^{-4}$ ,  $B_e = 5,120333$ ,  $\alpha_e = 0,120450$ ,  $\gamma_e = 6,508 \cdot 10^{-4}$  (постоянные  $D^{37}Cl^+$  соотв. 1916,64671; 27,82942; 0,143492;  $1,918 \cdot 10^{-4}$ ; 5,103201; 0,119774;  $6,157 \cdot 10^{-4}$ ).  
Б. М. Ковба

$DCl^+$

1986

12 Л190. Колебательно-вращательная спектроскопия молекулярных ионов с открытой оболочкой. Фарадеевский-лазерный магнитный резонанс  $DCl^+$  в разряде постоянного тока. Vibration rotation spectroscopy of open-shell molecular ions. Faraday-L. M. R. of  $DCl^+$  in a d. c.-discharge. Bohle W., Werner J., Zeitz D., Hinz A., Urban W. «Mol. Phys.», 1986, 58, № 1, 85—95 (англ.)

(М.Н.)

Изучен эффект Фарадея для излучения лазера CO, прошедшего через разрядную трубку, заполненную  $DCl$  и помещенную в сверхпроводящий соленоид, обеспечивающий максим. поле 3,1 Тл. При перестройке магн. поля наблюдены колебательно-вращательные линии иона  $DCl^+$  в состоянии  $X^2\Pi_{3/2}$ , отвечающие переходам  $\Delta v=1$  с колебательных уровней до  $v=6$ . Приведены частоты генерации и соответствующие им значения резонансных полей для ионов  $D^{35}Cl^+$  и  $D^{37}Cl^+$ . Определены гармонич. частоты, параметры ангармоничности,

φ. 1986, 18, N 12.

вращательные постоянные и константы колебательно-вращательного взаимодействия ионов. По относительным интенсивностям линий определена колебательная температура ионов, ее величина 2100 К сильно отличается от трансляционной температуры 450 К, найденной по доплеровской ширине. Использование небольшой модуляционной катушки обеспечивает локальную диагностику разряда. Соответствующие измерения проведены для нормального разряда.

М. В. Т.

наче  
"то"

$\text{DCl}^+$

[Om. 25825]

1986

creamp.  
creampock.  
rocmodet.

Bohle W., Werner F.,  
Zeitz D. et al.,

Mol. Phys., 1988,  
58, N1, 85-95.

ДСЛ

1987

Callaghan Robert,  
Prepatlli Sivaram,  
et al.

2<sup>x</sup>-помон.  
скрмп

$\chi^1\Sigma^+ \rightarrow V^1\Sigma^+$ ,

$E^1\Sigma^2, F^1\Delta_2;$

$d^3\Pi_1, f^3\Delta_2$   
 $4g^3\Sigma^-;$

J. Chem. Phys. 1987,  
86 (10), 5273-80.

(ces. HCl;  $\underline{\text{II}}$ )

ДЛ

(Om. 27452)

1987

Callaghan R., Arepalli S.,  
Gordon R.Y.,

документ  
чекмп,

М.Н.

J. Chem. Phys., 1987,  
86, N10, 5273 - 5280.

$\text{HCl}^{2+}$

1988

Barich evich A.,  
Peyerimhoff S. D. et al.

romers. Chem. Phys. 1988,  
Kubase 121 (3), 351-9.



(c.c.,  $\text{HCl}^{2+}$ ; 11)

$\text{HCl}^{2+}$

1988

Bareichevich A.,  
Peyerimhoff S.D. et al.

M.N.

Chem. Phys., 1988, 121,

N3, 357 - 359.

( $\text{ceee, HCl}^{2+}$ , iii)

D<sup>35</sup>Cl

D Cl

от. ЗОБДО

1988

18 Б1179. Вращательный анализ полос испускания  
 $B^1\Sigma^+ \rightarrow X^1\Sigma^+$  молекулы D<sup>35</sup>Cl. Rotational analysis of the  
 $B^1\Sigma^+ \rightarrow X^1\Sigma^+$  emission bands of D<sup>35</sup>Cl / Coxon J. A.,  
Hajigeorgiou P. G., Huber K. P. // J. Mol. Spectrosc.—  
1988.— 131, № 2.— С. 288—300.— Англ.

Сфотографирована система полос  $B^1\Sigma^+(v'=0—7)$ —  
 $X^1\Sigma^+(v''=11—23)$  в спектре испускания (обл. 166—  
240 нм) молекулы D<sup>35</sup>Cl, возбуждаемой в микроволново-  
вом разряде. Процедура анализа колебательно-вращательной  
структуры спектра включала след. этапы: оценка энергий колебат. уровней и значений вращат. постоянных

М.Н.



Х.1989, № 8

обеих электронных состояний исходя из известных потенциальных кривых РКР для HCl; оценка факторов Франка — Кондона (ФК) (приведены значения факторов ФК для полос  $v'=0-7-v''=11-23$ ,  $J=J'=J=0, 15, 30, 45$  и  $60$ ); расчет положения линий  $P$  и  $R$  ветвей наиболее интенсивных полос; сопоставление с эксперим. спектрами; собственно анализ измеренной структуры перехода. Приведены: положения начал полос; значения найденных врашат. постоянных и параметров центро-абежного искажения ( $B, D, H, K, L$ ) для каждого из указанных электронно-колебат. уровней; поворотные точки потенциальных кривых РКР для состояний  $X^1\Sigma^+(v \leq 23)$  и  $B^1\Sigma^+(v \leq 7)$ . Уровни состояния  $B^1\Sigma^+$  лежащие выше  $84\,000\text{ см}^{-1}$  взаимодействуют с уровнями ридберговского состояния  $H^1\Sigma^+$ , а еще более высоколежащие — с уровнями др. ридберговских состояний.

В. М. Ковба

D<sup>35</sup>Cl

М 30620

1988

5 Л195. Вращательный анализ полос излучения  $B^1\Sigma^+ - X^1\Sigma$  молекулы D<sub>35</sub>Cl. Rotational analysis of the  $B^1\Sigma^+ \rightarrow X^1\Sigma^+$  emission bands of D<sup>35</sup>Cl / Coxon J. A., Hajigeorgiou P. G., Huber K. P. // J. Mol. Spectrosc.—1988.—131, № 2.—С. 288—300.—Англ.

С высоким разрешением сфотографированы полосы излучения  $B^1\Sigma^+ - X^1\Sigma^+$  молекулы D<sup>35</sup>Cl в области 166—240 нм. В результате анализа 56 полос D<sup>35</sup>Cl определены спектроскопич. постоянные для уровней  $0 \leq v' \leq 7$  и  $11 \leq v'' \leq 23$ . Построены RKR-потенциалы и рассчитаны коэф. Франка—Кондона для нескольких значений вращательного квантового числа. Подтверждена колебательная нумерация высоких уровней  $B$ -состояния, ранее наблюдавшихся в спектре поглощения DCl. Библ. 25.

В. С. Иванов

М.П

сф. 1989, № 5

DCl (DM. 31647) 1988

Svensson S., Karlsson L.

et al.,  
Фотоэлектроп.  
спектр.

спектр. J. Chem. Phys., 1988, 89,  
N12, 7193-7200.

The photoelectron spectrum  
of HCl and DCl studied with

ultraviolet excitation, high resolution X-ray excitation, and synchrotron radiation excitation; Isotope effects on line profiles.

РСЛ+

1990

Brown, John M.

NATO ASI Ser., Ser. B.

Обзор  
экспер.

1990, 241, 189-214.

Учебн.-  
научн.

(с.и.  $\bullet$   $MnO_2$ ; III)

ДС

1990

ЗД118. Изотопическая зависимость эффектов, нарушающих приближение Борна — Оппенгеймера в двухатомных молекулах гидридов: состояния  $B^1\Sigma^+$  и  $X^1\Sigma^+$  молекул HCl и DCl. Isotopic dependence of Born—Oppenheimer breakdown effects in diatomic hydrides: The  $B^1\Sigma^+$  and  $X^1\Sigma^+$  states of HCl and DCl / Coxon John A., Hajigeorgiou Photos G. // J. Mol. Spectrosc.—1990.—139, № 1.—C. 84—106.—Англ.

Методом наименьших квадратов обработаны спектральные данные для четырех изотопомеров молекулы хлористого водорода с целью получения радиальных ф-ций, описывающих адиабатические и неадиабатич. эффекты, в системе полос электронных состояний  $B^1\Sigma^+$  и  $X^1\Sigma^+$ . Проведено отнесение вращательного спектра для молекулы  $D^{37}Cl$ .

А. И. Дементьев

об. 1991, № 3

DCI

1992.

18 Б1190. Субмиллиметровый вращательный спектр  
DCI. The submillimeter rotation spectrum of DCI /Fusina L.,  
De Natale P., Prevedelli M., Zink L. R. //J. Mol. Spectrosc.  
— 1992. — 152, № 1. — С. 55—61. — Англ.

(у.н.)

X. 1994, N 18.

D<sup>35</sup>Cl

1992

D<sup>37</sup>Cl

, 116: 138941c The submillimeter rotation spectrum of deuterium chloride. Fusina, L.; De Natale, P.; Prevedelli, M.; Zink, L. R. (Dip. Chim. Fis. Inorg., 40136 Bologna, Italy). *J. Mol. Spectrosc.* 1992, 152(1), 55-61 (Eng). The pure rotation spectra of both D<sup>35</sup>Cl and D<sup>37</sup>Cl were recorded at Doppler resoln. with tunable far IR spectroscopy.  $\Delta J = +1$  Rotational transitions were measured and assigned, with  $J''$  ranging from 0 to 16. The hyperfine structure of the rotational lines, due to the quadrupole moment in the chlorine nucleus, was only partially resolved. The Hamiltonian used for the anal. contained terms up to the sixth power in the angular momentum, the first-order quadrupole interaction, and the nuclear magnetic interaction. New, more accurate mol. parameters are detd.

CYAN  
Cyanide

C.A. 1992, 116, N 14

800  
Yato Yumio.  
J. Nucl. Sci. Technol.  
1992, 29(8), 768-78.

(ccer. HCl(k);  $\hat{W}$ )

DCl

1993

(UK)

118: 201375e The fundamental vibration-rotational band of gaseous deuterium chloride in absorption at 297 K and at 12 K. Klee, S.; Ogilvie, J. F. (Phys. Chem. Inst., Justus-Liebig-Univ., D-6300 Giessen, Germany). *Spectrochim. Acta, Part A* 1993, 49A(3), 345-55 (Eng). IR spectra of gaseous deuterium chloride were measured with an interferometric spectrometer in the region of the fundamental vibration-rotational band with resoln.  $0.23\text{ m}^{-1}$ . For these measurements the conditions were either a static sample of DCl in a conventional cell of length 0.27 m at 297 K or DCl in admixt. with CO and Ar flowing through a slit nozzle into an evacuated chamber. By adiabatic expansion the latter conditions produced a supersonic jet, in which the effective rotational temp. of both DCl and CO at the region of the measurements was  $(12 \pm 1.5)$  K. The relative precision  $0.004\text{ m}^{-1}$  and abs. accuracy  $0.04\text{ m}^{-1}$  of the measurements of the bands of  $^2\text{H}^{35}\text{Cl}$  and  $^2\text{H}^{37}\text{Cl}$  of the static gas make the lines suitable as secondary stds. for calibration of the scale of spectrometers in the range of wavenumber  $189,000 < \bar{\nu}/\text{m}^{-1} < 224,000$ .

C.A. 1993, 118, N20

1999

F: DC1

P: 3

132:7490        The ultraviolet photodissociation of  
DC1: H/D isotope effects on the Cl(2P) atom spin-  
orbit branching.      Ascenzi, D.; Regan, P. M.;

Orr- Ewing, A. J.      School of Chemistry,  
University of Bristol Bristol BS8 1TS, UK      Chem.

Phys. Lett., 310(5,6), 477-484 (English) 1999 The  
photodissocn. of jet-cooled DC1 mols. subsequent to  
excitation in the long-wavelength tail of the first  
UV absorption band (A1.PI.1 .ltwarw X1.SIGMA.+) has

C-A.2000, 132

been investigated at five wavelengths in the range 200-22 nm. Ground state Cl(2P3/2) and spin-orbit excited Cl\*(2P1/2) photofragme were monitored using (2 + 1) resonance enhanced multiphoton ionization in time-of-flight mass spectrometer. The product branching fractions are reported and compared with previous exptl. results and high-level quantum mech. calcns. for HCl and DCl. A significant H/D isotope effect in the branching fractions is found at all the studied wavelengths, in quant. agreement with recent theor. predictions.

8CL

1999

(UK CNEKMP)

130: 358669z FTIR Emission Spectra and Molecular Constants for DCl. Parekunnel, Treana; Hirao, Tsuyoshi; Le Roy, Robert J.; Bernath, Peter F. (Guelph-Waterloo Centre for Graduate Work in Chemistry and Biochemistry, University of Waterloo, Waterloo, ON Can. N2L 3G1). *J. Mol. Spectrosc.* 1999, 195(1), 185-191 (Eng), Academic Press. The authors report new high-resoln. IR emission spectra of DCl. Vibration-rotation line position of the  $\nu = 1 - 0, 2 - 1, 3 - 2$  and  $4 - 3$  bands of  $D^{37}Cl$ , and of the  $\nu = 1 - 0, 2 - 1$  and  $3 - 2$  of  $D^{35}Cl$  were measured. Sep. sets of band consts. were detd. for  $D^{35}Cl$  and  $D^{37}Cl$ . A combined isotopomer anal. was then performed together with analogous high-quality literature data for  $H^{35}Cl$  and  $H^{37}Cl$  to det. the Born-Oppenheimer breakdown correction. The results are compared to literature IR and microwave data. (c) 1999 Academic Press.

C. A., 1999, 130, N26

$DCl^{2+}$

2000

UK CREEK  
the corona pay  
all the time

132: 354159b Hyperfine-resolved spectrum of the molecular dication  $DCl^{2+}$ . Abusen, Ramadan; Bennett, Frederick R.; Cox, Simon G.; McNab, Iain R.; Sharp, David N.; Shiell, Ralph C.; Smith, Fiona E.; Walley, John M. (Department of Physics, University of Newcastle upon Tyne, Newcastle upon Tyne, UK NE1 7RU). *Phys. Rev. A: At., Mol., Opt. Phys.* 2000, 61(5), 050501/1–050501/4 (Eng), American Physical Society. The authors have obtained hyperfine-resolved IR spectra of a  $PQ_{23}(N)$  branch line in the  $v = 2-1$  band of the  $X\ ^3\Sigma^-$  state of the mol. dication  $D^{35}Cl^{2+}$ . Anal. of the hyperfine structure allows the authors to est. the magnitude of the Fermi contact interaction for the Cl nucleus;  
 $b_F(Cl) = 167(25)$  MHz.

C-A. 2000, 132, 126